

УДК 621.315.592

© 1990

## НЕАДИАБАТИЧЕСКИЙ РЕЖИМ В ДВУХУЗЕЛЬНОЙ МОДЕЛИ БИПОЛЯРОНА МАЛОГО РАДИУСА

*A. Г. Петухов*

Получено выражение для вероятности прыжка биполярона малого радиуса при произвольных температурах. Рассмотрение проводилось в рамках двухузельной модели в неадиабатическом режиме, когда вероятность прыжка лимитируется электронными переходами. Рассчитаны показатели экспонент и предэкспоненциальные множители для двух типов решений — туннельного (низкие температуры) и термоактивационного (высокие температуры). Результаты могут быть использованы для анализа прыжковой проводимости в материалах с биполяронным спариванием носителей заряда.

В некоторых материалах, таких как халькогенидные стеклообразные полупроводники [1],  $\alpha\text{-SiO}_2$  [2],  $\text{WO}_{3-x}$  [3], наблюдалась прыжковая проводимость, обусловленная перескоками биполярона малого радиуса (БМР). Хотя такой механизм проводимости обсуждался в литературе (см., например, [1, 4]), вероятность перескока БМР между различными узлами решетки при произвольных температурах до сих пор не вычислялась.

Отметим, что в теории поляронов малого радиуса (ПМР), в частности при анализе прыжковой проводимости, аналогичная задача о вычислении вероятности прыжка ПМР занимает центральное место [5]. Такая задача рассматривалась в ряде работ [5–7], где использовалась двухузельная модель ПМР и было показано, что вероятность прыжка ПМР может быть вычислена квазиклассически подобно тому, как это делается в теории многофононных безызлучательных переходов [8, 9].

Целью данной работы является вычисление вероятности прыжка БМР в рамках двухузельной модели, сформулированной в [10]. Мы будем рассматривать только неадиабатический режим, когда ядра успевают много раз пройти через точку «встречи» термов за время, пока пара электронов резонансно протуннелирует с узла на узел (см. подробнее [6]). Количественный критерий неадиабатичности режима будет сформулирован ниже.

Рассмотрим пару узлов, каждый из которых описывается моделью Андерсона [11]. Запишем гамильтониан этой пары в виде

$$\begin{aligned}
 H_{\text{tot}} = & \frac{P^2}{2\mu} + \frac{1}{2} \mu \omega_0^2 Q^2 + \left( \frac{\Delta}{2} - \lambda Q \right) \sum_{\sigma} (n_{1\sigma} - n_{2\sigma}) + U \sum_{i=1}^2 n_{i\uparrow} n_{i\downarrow} + \\
 & + C \sum_{i \neq j, \sigma, \sigma'}^2 n_{i\sigma} n_{j\sigma'} + J \sum_{i \neq j, \sigma}^2 a_{i\sigma}^{\dagger} a_{j\sigma} + H_{\text{int}} + H_{\text{ph}}. \quad (1)
 \end{aligned}$$

Здесь  $Q$  — локальная мода, отвечающая асимметричной деформации, т. е. разности локальных мод узлов [6];  $P$  — импульс, сопряженный с координатой  $Q$ ;  $\mu$  — приведенная масса ядер;  $\omega_0$  — частота локального фона;  $\Delta$  — разность одноэлектронных уровней узлов;  $\lambda$  — константа электрон-фононного взаимодействия (деформационный потенциал);  $n_{i\sigma}$  — число заполнения одноэлектронного состояния со спином  $\sigma$  на узле  $i$ ;

$a_{1\sigma}^+$ ,  $a_{1\sigma}$  — соответствующие операторы рождения и уничтожения;  $U$  — энергия кулоновского отталкивания электронов, локализованных на одном узле;  $C$  — межцентровый кулоновский интеграл;  $J$  — межцентровый интеграл электронного переноса (туннелирования);  $H_{\text{int}}$  описывает гармоническое взаимодействие моды  $Q$  с решеточными фононами (термостатом);  $H_{\text{ph}}$  — гамильтониан этих фононов.

Отметим сразу же, что учет двух последних слагаемых в гамильтониане (1) имеет принципиальное значение, поскольку именно эти слагаемые обеспечивают локализацию электронов на одном из центров и релаксационный характер межцентровых электронных переходов [7, 12–14].

Если на паре узлов локализованы два электрона ( $N = \sum_{i\sigma} n_{i\sigma} = 2$ ), то собственными состояниями гамильтониана (1) являются три синглетных и одно триплетное состояние. Рассмотрение триплетного состояния было проведено в [10] и не представляет интереса для целей данной работы. Для исследования синглетных состояний удобно ввести операторы псевдоспина

$$\hat{S}_x = \frac{1}{2} \sum_{\sigma} (a_{1\sigma}^+ a_{2\sigma} + a_{2\sigma}^+ a_{1\sigma}), \quad \hat{S}_y = \frac{i}{2} \sum_{\sigma} (a_{1\sigma}^+ a_{2\sigma} - a_{2\sigma}^+ a_{1\sigma}), \\ \hat{S}_z = \frac{1}{2} \sum_{\sigma} (n_{1\sigma} - n_{2\sigma}). \quad (2)$$

Нетрудно видеть, что в пространстве трех синглетных состояний  $|1\rangle = a_{1\uparrow}^+ a_{1\downarrow}^+ |0\rangle$ ,  $|2\rangle = 1/\sqrt{2} \cdot (a_{1\uparrow}^+ a_{2\downarrow}^+ - a_{2\uparrow}^+ a_{1\downarrow}^+) |0\rangle$  и  $|3\rangle = a_{2\uparrow}^+ a_{2\downarrow}^+ |0\rangle$ , где  $|0\rangle$  — вакуумное состояние, не содержащее электронов, операторы (2) удовлетворяют соотношениям коммутации для спина  $s=1$ , а гамильтониан (1) преобразуется к виду<sup>1</sup>

$$H_{\text{tot}} = H + H_{\text{int}} + H_{\text{ph}}, \quad (3)$$

где

$$H = \frac{P^2}{2\mu} + \frac{1}{2} \mu \omega_0^2 Q^2 + \left( \frac{\Delta}{2} - \lambda Q \right) \hat{S}_z + U \hat{S}_z^2 + 2J \hat{S}_x, \quad (4)$$

$\bar{U} = U - C$ . Отметим, что в двухузельной модели ПМР используется аналогичный спин-бозонный гамильтониан, но для  $s=1/2$  [15]. При  $J=0$  гамильтониан (4) является диагональным по «спиновому» квантовому числу  $s_z$

$$H_{s_z} = \frac{P^2}{2\mu} + \frac{1}{2} \mu \omega_0^2 \left( Q - s_z \frac{\lambda}{\mu \omega_0^2} \right)^2 - U_{\text{эфф}} (1 - s_z^2), \quad (5)$$

где  $s_z = -1, 0, +1$ ;  $U_{\text{эфф}} = \bar{U} - 2W$  — эффективная корреляционная энергия;  $W = \lambda^2 / 4\mu \omega_0^2$  — полярный сдвиг. В (5) мы для простоты ограничились рассмотрением симметричного случая  $\Delta=0$  и сдвинули начало отсчета энергии к минимуму адиабатического потенциала при  $s_z = -1$ . На рис. 1 показаны адиабатические потенциалы, отвечающие различным значениям  $s_z$  для случая отрицательной андерсоновской корреляционной энергии  $U_{\text{эфф}} < 0$ . Как легко видеть, при  $U_{\text{эфф}} < 0$  биполярные состояния с  $s_z = \pm 1$  являются энергетически выгодными по отношению к состоянию с  $s_z = 0$ , отвечающему двум поляронам, локализованным на разных узлах. Прыжок биполярона соответствует изменению квантового числа  $s_z$  на  $\pm 2$ , т. е. перевороту псевдоспина.

Мы рассматриваем гамильтониан (4) с  $J=0$ , отвечающий бесконечно удаленным узлам, как невозмущенный. Сближение узлов приводит к росту  $J$  и, следовательно, к возникновению переходов между состояниями с различным значением псевдоспина. Наша задача состоит в вычислении темпа

<sup>1</sup> Конечно же, истинный спин двухэлектронной системы в синглетном состоянии равен нулю, а операторы псевдоспина имеют совершенно иной физический смысл. Так, например,  $\hat{S}_z$  является оператором дипольного момента и т. п.

(вероятности в единицу времени) перехода из состояния с  $s_z = -1$  в состояние с  $s_z = +1$  под действием малого возмущения  $2J\hat{S}_x$  (неадиабатический режим). Как было показано в [7] (см. также [14]), понятие темпа перехода имеет смысл только при рассмотрении полного гамильтониана (3), в котором учитываются диссипативные процессы взаимодействия с решеточными фононами, приводящие к сбоям фазы волновой функции и разрушению когерентных состояний. При этом выражение для темпа перехода можно записать в следующем виде [7-9]:

$$\nu_{-1, +1} = \frac{2\pi}{\hbar Z_{-1}} \sum_n \exp\left(-\frac{E_n}{T}\right) \gamma_{n+1}(E_n), \quad (6)$$

где  $Z_{-1}$  — статистическая сумма, отвечающая начальному состоянию с  $s_z = -1$ ;  $\gamma_n$  — неадиабатический коэффициент перехода из  $n$ -го состояния

в левой яме с  $s_z = -1$  в состояние  $n$  в правой яме с  $s_z = +1$  (рис. 1);  $\rho_{n+1}(E_n)$  — плотность уровней с энергией  $E_n$  в правой яме.

В неадиабатическом режиме коэффициент  $\gamma_n$  определяется квадратом модуля амплитуды перехода

$$\gamma_n = |\langle \hat{\psi}_{-1, n} | \hat{T}(E_n) | \hat{\psi}_{+1, n} \rangle|^2, \quad (7)$$

где  $\hat{T}$ -матрица может быть записана в виде борновского ряда, в котором оператор  $2J\hat{S}_x$  рассматривается как возмущение  $\hat{T}(E) = 2J\hat{S}_x + 2J\hat{S}_x\hat{G}(E)2J\hat{S}_x + \dots$

$$(8)$$

Рис. 1. Адиабатические потенциалы двухузельной модели БМР для  $J=0$ ,  $U_{\text{эфф}} < 0$ .

Горизонтальными линиями показаны оптимальные энергии, отвечающие прыжку БМР.

Здесь  $\hat{G}(E)$  — матричная функция Грина невозмущенного гамильтониана (4) с  $\Delta = J = 0$

$$\hat{G}(E) = G_0 I + (G_+ - G_0) \hat{S}_z^2 + G_- \hat{S}_z, \quad (9)$$

где  $\hat{I}$  — единичный оператор, а

$$G_0 = (E - H_0)^{-1}, \quad G_{+, -} = \frac{1}{2} [(E - H_{-1})^{-1} \pm (E - H_{+1})^{-1}]. \quad (10a), (10b)$$

Различные  $H_{sz}$  даются формулой (5), а волновые функции  $\hat{\psi}_{-1}$  и  $\hat{\psi}_{+1}$  имеют вид

$$\hat{\psi}_{-1, n} = \varphi_{-1, n}(Q) \hat{x}_{-1}, \quad \hat{\psi}_{+1, n} = \varphi_{+1, n}(Q) \hat{x}_{+1}, \quad (11)$$

где  $\hat{x}_{\pm 1}$  — собственные векторы оператора  $\hat{S}_z$ , отвечающие собственным значениям  $s_z = \pm 1$ ;  $\varphi_{\pm 1, n}$  — собственные функции операторов  $H_{\pm 1}$  (5). Подставляя (8) — (11) в (7), можно получить выражение для амплитуды перехода. Нетрудно видеть, что вклад первого порядка в амплитуду перехода обращается в нуль, а во втором порядке по  $J$  получим

$$\begin{aligned} \langle \hat{\psi}_{-1, n} | \hat{T}(E_n) | \hat{\psi}_{+1, n} \rangle &= 4J^2 \langle \hat{x}_{-1}^\dagger | \hat{S}_z^2 | \hat{x}_{+1} \rangle \int \varphi_{-1, n}^*(Q) G_0(Q, Q', E_n) \times \\ &\times \varphi_{+1, n}(Q') dQ dQ', \end{aligned} \quad (12)$$

где  $G_0(Q, Q', E)$  — функция Грина (10a) в координатном представлении.

Интеграл в (12) удобнее всего вычислять в квазиклассическом приближении, используя метод комплексных траекторий Ландау [16, 17]. Запишем асимптотическое выражение для пропагатора  $G_0(Q, Q', E)$  в приближении стационарной фазы [18, 19]

$$G_0(Q, Q', E) = \frac{\mu}{\hbar^2} [k_0(Q, E) k_0(Q', E)]^{-1/2} \exp(-2S_0(E)). \quad (13)$$

Здесь

$$k_0(Q, E) = \hbar^{-1} [2\mu(V_0(Q) - E)]^{1/2} = \hbar^{-1} \left[ 2\mu \left( \frac{1}{2} \mu \omega_0^2 Q^2 + U_{\text{эфф}} - E \right) \right]^{1/2},$$

$$S_0(E) = \begin{cases} \frac{1}{\hbar} \int_Q^{Q'} k_0(Q'', E) dQ'', & E < U_{\text{эфф}}, \\ \frac{1}{\hbar} \left[ \int_Q^{a_0} k_0(Q'', E) dQ'' + \int_{b_0}^{Q'} k_0(Q'', E) dQ'' \right], & E > U_{\text{эфф}}, \end{cases} \quad (14)$$

$a_0, b_0$  — классические точки поворота для потенциала  $V_0(Q)$ . В формуле (13) опущены сингулярные члены, отвечающие многократному отражению от стенок потенциальной ямы в классически разрешенной области, поскольку в соответствии с выводами работы [7] не следует учитывать когерентные процессы.

При интегрировании по  $Q$  и  $Q'$  в (12) смещаем контур интегрирования в комплексную плоскость, что дает возможность использовать для квазиклассических функций  $\varphi_{-1}(Q)$  и  $\varphi_{+1}(Q)$  их асимптотические выражения вдали от классических точек поворота  $a_{-1}$  и  $a_{+1}$  (рис. 1). Вычисляя интеграл методом перевала, получим

$$\gamma(E) = \frac{4\omega_0^4 \mu^2 J^4 \exp[-2\Psi(E)]}{(\hbar\omega_0)^2 |F_{-1}F_{+1}| k_{-1}(Q_{-1}) k_{+1}(Q_{+1})}, \quad (15)$$

где

$$k_{\pm 1}(Q) = \hbar^{-1} [2\mu(V_{\pm 1}(Q) - E)]^{1/2} = \hbar^{-1} \left[ \frac{1}{2} \mu \omega_0^2 \left( Q \pm \frac{\lambda}{\mu \omega_0^2} \right)^2 - E \right]^{1/2},$$

$Q_{\pm 1}$  — точки пересечения термов (рис. 1),

$$F_{\pm 1} = \frac{d}{dQ} [V_{\pm 1}(Q) - V_0(Q)]|_{Q=Q_{\pm 1}}, \quad (16)$$

$\Psi(E)$  дается выражением

$$\Psi(E) = \operatorname{Re} \left\{ \int_{a_{-1}}^{Q_{-1}} k_{-1}(Q, E) dQ + \int_{Q_{-1}}^{Q_{+1}} k_0(Q, E) dQ + \int_{Q_{+1}}^{a_{+1}} k_{+1}(Q, E) dQ \right\} \frac{1}{\hbar}. \quad (17)$$

Непосредственное вычисление по формуле (17) дает

$$\Psi(E) = \frac{2W}{\hbar\omega_0} \left[ \sqrt{(1+u^2)-4\varepsilon} + 2(u-\varepsilon) \ln \frac{1-u+\sqrt{(1+u)^2-4\varepsilon}}{2\sqrt{|\varepsilon-u|}} - 2\varepsilon \ln \frac{1+u+\sqrt{(1+u)^2-4\varepsilon}}{2\sqrt{\varepsilon}} \right], \quad (18)$$

где  $\varepsilon = E/2W$ ,  $u = 1 - \bar{U}/2W > 0$ , поскольку мы рассматриваем случай  $U_{\text{эфф}} < 0$ . Вычислим также

$$\tau(E) = -\hbar \frac{\partial \Psi}{\partial E} = \begin{cases} \frac{2}{\omega_0} \operatorname{Arsh} \frac{1+u-2\varepsilon}{2\sqrt{\varepsilon}(u-\varepsilon)}, & \varepsilon < u, \\ \frac{2}{\omega_0} \operatorname{Arch} \frac{1+u-2\varepsilon}{2\sqrt{\varepsilon}(\varepsilon-u)}, & \varepsilon > u. \end{cases} \quad (19)$$

Теперь можно перейти к расчету темпа перехода. Для достаточно высоких температур суммирование в (6) заменяем интегрированием

$$\nu_{-1, +1} = \frac{2\pi}{\hbar^3 \omega_0^2 Z_{-1}} \int \exp\left(-\frac{E}{T}\right) \gamma(E) dE. \quad (20)$$

Подставляя (15) в (20) и интегрируя по  $E$  методом перевала, получим

$$v_{-1, +1} = \frac{J^4 \pi}{\hbar Z_{-1} (\hbar \omega_0)^2 W (E_a - E_s)} \left( \frac{2\pi}{\Phi''(E_s)} \right)^{1/2} \exp[-S(T)], \quad (21)$$

где  $E_a = W/2 \cdot (1+u)^2$  — энергия активации, отвечающая точкам пересечения термов  $Q_{\pm 1}$ ,  $Z_{-1} = (2\sinh(\hbar\omega_0/2T))^{-1}$ ,  $S(T) = \Phi(E_s)$ ,

$$\Phi(E) = E/T + 2\Psi(E), \quad (22)$$

а  $E_s$  определяется из уравнения

$$\frac{d\Phi}{dE} \Big|_{E=E_s} = \frac{1}{T} - \frac{2}{\hbar} \zeta(E_s) = 0. \quad (23)$$

Уравнение (23) имеет два решения, минимизирующих действие  $\Phi(E)$ . При низких температурах реализуется решение туннельного типа с  $E_s = E_s^t < 2W - U$ , а при высоких — «термоактивационного» типа с  $E_s = E_s^a > 2W - U$

$$E_s^t = W [u + \cosh^{-2} \xi_s - \tanh \xi_s (u^2 - \cosh^{-2} \xi_s)^{1/2}], \quad (24)$$

$$E_s^a = W [u - \sinh^{-2} \xi_s + \coth \xi_s (u^2 + \sinh^{-2} \xi_s)^{1/2}], \quad (25)$$

где  $\xi_s = (\omega_0/2)\tau_s = \hbar\omega_0/4T$ . Соответствующие значения  $S(T)$  даются выражениями

$$S_t(T) = (4W/\hbar\omega_0) [u\xi_s + \tanh \xi_s - u \operatorname{Arch}(u \cosh \xi_s) + (u^2 - \cosh^{-2} \xi_s)^{1/2}], \quad (26)$$

$$S_a(T) = (4W/\hbar\omega_0) [u\xi_s + \coth \xi_s + u \operatorname{Arsh}(u \sinh \xi_s) - (u^2 + \sinh^{-2} \xi_s)^{1/2}]. \quad (27)$$

Формулы (21)–(27) позволяют вычислить темп перехода при произвольных температурах.

На рис. 2 показана температурная зависимость действия  $S(T)$  для различных решений уравнения (23). При низких температурах абсолютному минимуму действия отвечает туннельное решение с  $S = S_t(T)$ , которое существует только при  $T < T_1 = \hbar\omega_0/(4\operatorname{Arch}(1/u))^{-1}$ , а при высоких температурах конкуренцию выигрывает термоактивационное<sup>2</sup> решение с  $S = S_a(T) \approx (W/2T)(1+u)^2$ . Температуру перехода  $T_a$  от туннельного режима к активационному можно грубо оценить, приравняв предельные значения  $S_a(T)$  и  $S_t(0) = (4W/\hbar\omega_0)(1+u-u \ln u)$

$$T_a \approx (\hbar\omega_0/4)(1+u)^2/(1+u-u \ln u). \quad (28)$$

При высоких температурах ( $\xi_s = \hbar\omega_0/4T \ll 1$ ,  $T \gg T_a$ ) температурная зависимость вероятности прыжка становится чисто активационной

$$v_{-1, +1} = \frac{\omega_0}{2\pi} \frac{16\pi^{5/2} (1+u)^2 J^4}{(\hbar\omega_0)^8 E_a (1-u)} \left( \frac{T}{E_a} \right)^{1/2} \exp\left(-\frac{E_a}{T}\right). \quad (29)$$

При достаточно больших значениях интеграла туннелирования  $J$  теория возмущений по этому параметру неприменима и для вычисления темпа перехода необходимо воспользоваться адиабатической теорией [5, 6, 8, 9]. Можно показать, что в адиабатическом режиме аналог формулы (21) при достаточно низких температурах имеет вид [6, 9]

$$v_{-1, +1} = \frac{1}{2\pi\hbar Z_{-1}} \left( \frac{2\pi}{\Phi''(E_s)} \right)^{1/2} \exp(-S(T)). \quad (30)$$

Сравнивая (30) и (21), получим критерий неадиабатичности режима

$$\eta = 2\pi^2 J^4 / (\hbar\omega_0)^2 W E_a \ll 1, \quad (31)$$

где  $\eta$  — так называемый параметр неадиабатичности [5, 6]. Критерий (31) справедлив при достаточно низких температурах, когда прыжки биполя-

<sup>2</sup> Решение с  $S = S_a(T)$  мы называем термоактивационным условно, имея в виду, что соответствующая ему «энергия активации»  $E_a(T) = TS_a(T)$  хотя и зависит от температуры, но лежит в узком интервале  $|U_{\text{эфф}}| < E_a(T) < (W/2)(1+u)^2$ .

рона осуществляются туннельным образом. Для того чтобы сформулировать критерий неадиабатичности при произвольных температурах, необходимо более детально исследовать адиабатический режим прыжков и процесс диссоциации БМР. Такое рассмотрение, однако, выходит за рамки данной работы.

Отметим, что в частном случае  $u=0$  (нулевая эффективная корреляционная энергия) имеется только решение с  $S=S_a(T)$ , а формула (21) с точностью до множителя 4 совпадает с результатом Холстейна [20] для случая сильной дисперсии решеточных фононов, полученным для ПМР в четвертом порядке по  $J$ . Это неудивительно, поскольку при  $u=0$  прыжок биполярона осуществляется за счет двух последовательных перескоков ПМР. Наличие множителя 4 связано с тождественностью частиц и неразличимостью процессов перехода электронов с различным направлением спина.

Интересно также сравнить полученные результаты с результатами работ [21, 22], где рассматривались термоактивационные прыжки БМР в рамках метода эффективного биполярона гамильтонiana. Отметим, что в пределе сильной связи, когда  $u \leq 1$  и глубина центральной ямы  $\delta = E_a - |U_{\text{эфф}}|$  (рис. 1) близка к энергии локального фона  $\hbar\omega_0$ , выражение для предэкспоненциального множителя в формуле (29) не является корректным ввиду неприменимости квазиклассического подхода к описанию состояний с  $S_z=0$  и энергией в интервале  $|U_{\text{эфф}}| < E < E_a$ . В этом случае, однако, туннельное решение существует вплоть до высоких температур  $T < T_1$  (рис. 1) и в области  $\hbar\omega_0/4 < T < T_1$  температурная зависимость  $S_t(T)$  плавно переходит в активационную. Нетрудно видеть, что в этой области при  $\delta \ll E_a$

$$E_s^t = E_a (1 - \xi_s^2 + O(\delta/E_a)). \quad (32)$$

Подставляя (32) в (21), получим

$$\nu_{-1, +1} = \frac{8J^4 \pi^{9/2}}{\hbar (\hbar\omega_0)^2 W} \left( \frac{T}{E_a} \right)^{1/2} \exp \left( - \frac{E_a}{T} \right). \quad (33)$$

Если теперь провести замену обозначений, соответствующую обозначениям работы [22], а именно энергию активации прыжка ПМР  $W/2$  заменить на  $E_a$ , энергию связи БМР  $|U_{\text{эфф}}|=2W-U \rightarrow U$  и соответственно  $u \rightarrow U/4E_a$ , а  $E_a=(W/2)(1+u)^2 \rightarrow (U+4E_a)^2/16E_a$ , то, как нетрудно видеть, формула (33) в точности совпадает с формулой (41) из работы [22].

Отметим, что по смыслу туннельное решение с  $S=S_t(T)$  отвечает прыжку биполярона как целого, в то время как активационное решение соответствует двум последовательным прыжкам ПМР. Важно подчеркнуть, что в случае  $u < 1$ , когда нельзя пренебречь энергией кулоновского отталкивания электронов  $U$ , прыжок БМР как целого при температурах  $T < T_1$  невозможен.

В заключение обсудим кратко экспериментальные данные, полученные в работе [3]. В [3] было показано, что в нестехиометрическом кристаллическом  $WO_{3-x}$  имеет место диамагнитное спаривание ПМР, приводящее к образованию автолокализованных БМР. Были найдены энергии оптической ионизации БМР  $E_i^{\text{opt}}=1.1$  эВ и ПМР  $E_p^{\text{opt}}=0.71$  эВ, а также энергия

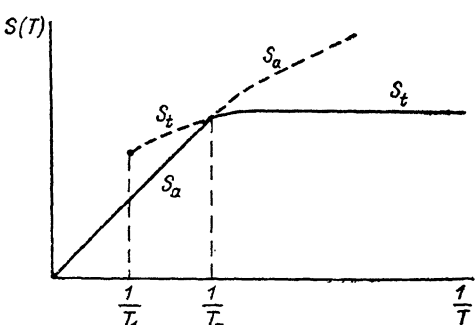


Рис. 2. Температурная зависимость оптимального действия, отвечающего прыжку БМР,  $T_1=\hbar\omega_0/(4\text{Arch}(1/u))^{-1}$ .

Величины  $S_t(T)$ ,  $S_a(T)$  и  $T_1$  даются формулами (26)–(28).

активации темновой проводимости  $E_a = 0.16$  эВ, отвечающей перескокам БМР. Проводимость измерялась в довольно узком интервале температур  $\sim 90 \div 130$  К. С помощью элементарных вычислений легко показать [23], что  $E_p^{\text{opt}} - E_b^{\text{opt}} = U_{\text{эфф}} = U - 2W$ . Таким образом, для  $WO_{3-x}$  величина  $U_{\text{эфф}}$  составляет  $-0.4$  эВ. В то же время энергия активации темновой проводимости  $E_a$  существенно меньше  $|U_{\text{эфф}}|$ , хотя из вышеприведенной теории (см. формулы (21), (29)), следует, что эта энергия  $E_a = (W/2)(1+u)^2 > |U_{\text{эфф}}|$ . Указанное противоречие, по всей вероятности, связано с тем, что измеренная проводимость либо отвечает области температур, близких к температуре перехода от туннельных прыжков к активационным, где температурная зависимость темпа перехода не является экспоненциальной, либо соответствует адиабатическому режиму. В последнем случае происходит сильная редукция конфигурационного барьера за счет квантовомеханического расщепления термов [10].

Дальнейшее сравнение теории с экспериментом можно проводить, анализируя проводимость на переменном токе [24]. Такой анализ, однако, требует отдельного рассмотрения.

#### Список литературы

- [1] Elliot S. R. // Phil. Mag. 1977. V. B36. N 9. P. 1291—1299.
- [2] Meaudre M., Meaudre R. // Phys. Rev. 1984. V. B29. N 12. P. 7014—7019.
- [3] Shirmer O. F., Salje E. // J. Phys. 1980. V. C13. P. L1067—L1071.
- [4] Long A. R. // Adv. Phys. 1982. V. 31. N 5. P. 553—637.
- [5] Сб. «Поляроны» / Под ред. Ю. А. Фирсова. М.: Наука, 1975. 424 с.
- [6] Holstein T. // Phil. Mag. 1978. V. B37. N 1. P. 49—62.
- [7] Holstein T. // Phil. Mag. 1978. V. B37. N 4. P. 499—526.
- [8] Englman R. // Sol. St. Comm. 1983. V. 47. N 9. P. 723—726.
- [9] Мешков С. В. // ЖЭТФ. 1985. Т. 89. № 11. С. 1734—1745.
- [10] Петухов А. Г. // ФТП. 1988. Т. 22. № 3. С. 527—529.
- [11] Anderson P. W. // Phys. Rev. Lett. 1975. V. 34. N 15. P. 953—955.
- [12] Langer J. S. // Ann. Phys. (N. Y.). 1969. V. 54. P. 258—275.
- [13] Caldeira A. O., Leggett A. J. // Ann. Phys. (N. Y.). 1983. V. 149. P. 374—456.
- [14] Ларкин А. И., Овчинников Ю. Н. // ЖЭТФ. 1984. Т. 86. № 2. С. 719—726.
- [15] Feinberg D., Ranninger J. // Physica. 1984. V. D14. P. 29—48.
- [16] Ландау Л. Д., Лифшиц Е. М. Квантовая механика. М.: Наука, 1975. 752 с.
- [17] Гельмонт Б. Л., Перель В. И., Яссевич И. Н. // ФТТ. 1983. Т. 25. № 3. С. 727—733.
- [18] McLaughlin D. W. // J. Math. Phys. 1972. V. 13. N 8. P. 1099—1108.
- [19] Holstein B. R., Swift A. R. // Am. J. Phys. 1982. V. 50. N 9. P. 829—839.
- [20] Holstein T. // Ann. Phys. (N. Y.). 1981. V. 132. P. 212—234.
- [21] Брыксин В. В., Волошин В. С. // ФТТ. 1984. Т. 26. № 8. С. 2357—2364.
- [22] Брыксин В. В., Гольцов А. В. // ФТТ. 1988. Т. 30. № 5. С. 1476—1486.
- [23] Балагуров Л. А., Омельяновский Э. М., Петухов А. Г., Стариков М. Н., Фойгель М. Г. // ФТП. 1987. Т. 21. № 9. С. 1631—1636.
- [24] Петухов А. Г., Фойгель М. Г. // ЖЭТФ. 1989. Т. 95. № 3. С. 1037—1048.

Одесский государственный университет  
им. И. И. Мечникова  
Одесса

Поступило в Редакцию  
31 марта 1989 г.  
В окончательной редакции  
11 июля 1989 г.